

## 論文

UDC 543.24 : 620.192.45 : 669.14

# 鋼中非金属介在物分析への冷硝酸法および 冷硝酸アルコール法の適用\*

川村 和郎\*\*・渡辺 四郎\*\*・山田 正弘\*\*

Application of Cold Nitric Acid and Cold Nitric Acid-Alcohol  
Methods to Analysis of Nonmetallic Inclusions in Steel

Kazuo KAWAMURA, Siro WATANABE, and Masahiro YAMADA

## Synopsis:

An investigation has been made on application of the cold  $\text{HNO}_3$  and cold  $\text{HNO}_3$ -alcohol methods to analysis of nonmetallic inclusions in steels.

The results obtained are summarized as follows:

(1) The changes of natural potential and temperature of the cold  $\text{HNO}_3$  solution through the reaction with iron depend on the concentration of the cold  $\text{HNO}_3$ .

According to the behavior of reaction with iron, the cold  $\text{HNO}_3$  medium may be divided into 3 ranges, namely the high concentration range of (4+1)~(1+1) at  $-15\text{ }^\circ\text{C}$ ~ $-5\text{ }^\circ\text{C}$ , the medium concentration range of (1+3)~(1+7) at  $-5\text{ }^\circ\text{C}$ ~ $0\text{ }^\circ\text{C}$ , and the low concentration range of (1+9)~(1+50) at  $0\text{ }^\circ\text{C}$ ~ $5\text{ }^\circ\text{C}$ .

(2) The medium concentration range is most suitable for decomposition of  $\text{Fe}_3\text{C}$ , and the analytical condition of 200 ml ( $-5\text{ }^\circ\text{C}$ ) of  $\text{HNO}_3$ (1+7) has been confirmed to be most recommendable for analysis of nonmetallic inclusions in killed steels (sample taken 1 g).

(3) As compared with the cold  $\text{HNO}_3$ - $\text{H}_2\text{O}$  system, the cold  $\text{HNO}_3$ -alcohol system has some different aspects; the natural potential and the dissolving rate for iron are rather lower, but the low concentration range of the system can be applied even below  $0\text{ }^\circ\text{C}$  without freezing.

## 1. 緒 言

鋼中非金属介在物の新しい分析法として冷硝酸法（以下冷  $\text{HNO}_3$  法と略記）につき、合成試料による基礎的検討もおこない、本法を確立したが<sup>1)</sup>、今回は実用鋼への適用について冷  $\text{HNO}_3$  法および冷  $\text{HNO}_3$  アルコール法について検討し、あわせてヨウ素メタノール法との比較をおこなつた。

この冷  $\text{HNO}_3$  法の特徴としては、(1)冷  $\text{HNO}_3$  の白金極に対する起電力測定結果から、高濃度側では高起電力となり、低濃度側では低起電力となり、高濃度側では鉄とはげしく反応するあるいは、不動態化状態を現出し、低濃度側ではゆるやかな反応がおこる。(2)ウスタイトとその複合化合物は、冷  $\text{HNO}_3$  に対し Mn 固溶量の多い化合物ほど不安定になり、Mn 硫化物も不安定で

あつたが窒化アルミニウムや Fe 硫化物は安定であり、セメンタイトは高濃度側では安定である。(3)冷  $\text{HNO}_3$  法による各種化合物の抽出条件としては  $\text{HNO}_3$ (2+1), 液温  $-15\text{ }^\circ\text{C}$ ~ $-5\text{ }^\circ\text{C}$ , 液量 80~100 ml, 試料 1~2 g であるが、目的に適した冷  $\text{HNO}_3$  の使用条件を選択してもらいることも重要である。

しかし、このような合成試料による検討のみでは実用鋼中の介在物の抽出分離に適用するのに十分とはいはず、実際試料について、より実用的な検討をしなければならない。したがつて本報は広範囲の実用鋼中の介在物分析にも容易に適用できるような使用条件をもとめるための実用化試験をおこなつたものである。

このような考え方から、まず取り上げて検討する項目は、(1)冷  $\text{HNO}_3$  と試料の反応における基礎的挙動、すなわち試料が冷  $\text{HNO}_3$  と反応するときの自然電位や

\* 昭和 49 年 12 月 27 日受付 (Received Dec. 27, 1974)

\*\* 新日本製鉄(株)製品技術研究所 (Research & Development Laboratories, Nippon Steel Corp., 5-10-1 Fuchinobe Sagamihara City 229)

Table 1. Chemical composition of samples.

Sample	Chemical composition (%)							
	C	Si	Mn	P	S	Al	N	O
NBS	55 e	0.011	0.001	0.035	0.003	0.012	—	—
	15 f	0.084	0.042	0.390	0.006	0.032	—	—
	16 d	1.01	0.188	0.439	0.014	0.033	—	—
Killed steel	H-A	0.136	0.24	0.69	0.017	0.015	0.026	0.0051 (<0.003*)
	N-A	0.170	0.24	1.07	0.020	0.012	0.030	0.0060 (<0.003*)
	N-B	0.118	0.25	1.09	0.018	0.004	0.023	0.0056 (0.0096*)
	N-C	0.183	0.28	1.33	0.018	0.009	0.018	0.0054 (0.0061*)
Rimmed steel	H-1	0.03	0.001	0.25	0.007	0.008	<0.002	0.0025
	H-2	0.29	0.010	0.79	0.014	0.012	<0.002	0.0038
	H-3	0.15	0.001	0.43	0.016	0.027	<0.002	0.0051
	M-4	0.03	<0.001	0.22	0.010	0.025	<0.002	0.0023
	M-5	0.03	<0.001	0.24	0.005	0.004	<0.002	0.0023

\*( ): AlN%

液温の変化、あるいは試料の溶解度や反応割合などである。(2)鋼中介在物の抽出分離においていちばん問題となる  $\text{Fe}_3\text{C}$  の分解挙動について検討する。(3)冷  $\text{HNO}_3$  法による酸化物介在物の分析をおこない、本法の特徴を明確にする。(4)冷  $\text{HNO}_3$  法は  $\text{HNO}_3\text{-H}_2\text{O}$  系をもついてきたが、あらたに  $\text{HNO}_3\text{-CH}_3\text{OH}$  系や  $\text{HNO}_3\text{-C}_2\text{H}_5\text{OH}$  系の冷  $\text{HNO}_3$  アルコール法についても検討し、あわせて介在物分析への適用効果についても検討する。

なお、本実験における冷  $\text{HNO}_3$  法あるいは冷  $\text{HNO}_3$  アルコール法の各使用条件に対し、不溶解である成分を“insol”として表示した。

## 2. 実験

### 2.1 実験試料

NBS 標準試料および各種実用鋼を実験試料としてもいた。これらを Table 1 に示す。なお、試料形状は切削状か粒状(約 2 mm)である。

### 2.2 おもな試薬と装置

おもな試薬は  $\text{HNO}_3$ (比重 1.38、特級 500 g 入り、関東化学製)、ろ過材はニュークルボアフィルター(径 47 mm、孔径  $0.2\mu$ 、GE 社製)をもちい、元素分析用試薬はすべて特級品を使用した。

自然電位測定装置は既報<sup>1)</sup>のものとおなじものをもつた。

### 2.3 冷 $\text{HNO}_3$ と試料の反応時における自然電位測定方法

冷  $\text{HNO}_3$  の容器は 200 ml のトールビーカーをもちい、

電極の組み合わせはつきのようにして電位を測定した。

$\text{HNO}_3\text{-H}_2\text{O}$  系

(+) Pt||冷  $\text{HNO}_3 + \text{Fe} \parallel$  飽和  $\text{KCl}-\text{Hg}_2\text{Cl}_2-\text{Hg} \parallel (-)$

$\text{HNO}_3\text{-CH}_3\text{OH}$  系

(+) Pt||冷  $\text{HNO}_3\text{-CH}_3\text{OH} + \text{Fe} \parallel$  飽和  $\text{KCl}-\text{Hg}_2\text{Cl}_2-\text{Hg} \parallel (-)$

$\text{HNO}_3\text{-C}_2\text{H}_5\text{OH}$  系

(+) Pt||冷  $\text{HNO}_3\text{-C}_2\text{H}_5\text{OH} + \text{Fe} \parallel$  飽和  $\text{KCl}-\text{Hg}_2\text{Cl}_2-\text{Hg} \parallel (-)$

この場合試料(Fe)のみをゼロから 5.0 g まで変化させ、そのあいだの冷  $\text{HNO}_3$  の反応割合が電位変化につながつてくる。

試料の添加量は、試料の冷  $\text{HNO}_3$  に対する溶解挙動が使用条件によつてまちまちなので、試料の溶解あるいは未溶解にかかわらず一定量を一定時間に添加することにし、その条件は試料 0.5 g 添加して 20 min 経過したら、さらに 0.5 g を添加し、試料添加量の総量を 5.0 g とした。このときの総所要時間は 200 min とした。

自然電位の測定間隔は、最初の試料 0.5 g 添加の場合のみ、30 sec, 60 sec, 120 sec, 180 sec, 5 min, 10 min, 15 min および 20 min とし、2 回目の試料添加からは 5, 10, 15 および 20 min とし、そのときの液温も記録した。

### 2.4 冷 $\text{HNO}_3$ 法による介在物の抽出分離方法

低温冷却装置を所定の温度に設定し、50~500 ml 広口ビーカーに、それぞれの濃度と量の  $\text{HNO}_3$  をとり、低温冷却溶解装置中にうつし、攪拌しながら一定温度の冷  $\text{HNO}_3$  溶液とした。つづいて試料をしづかに添加し、

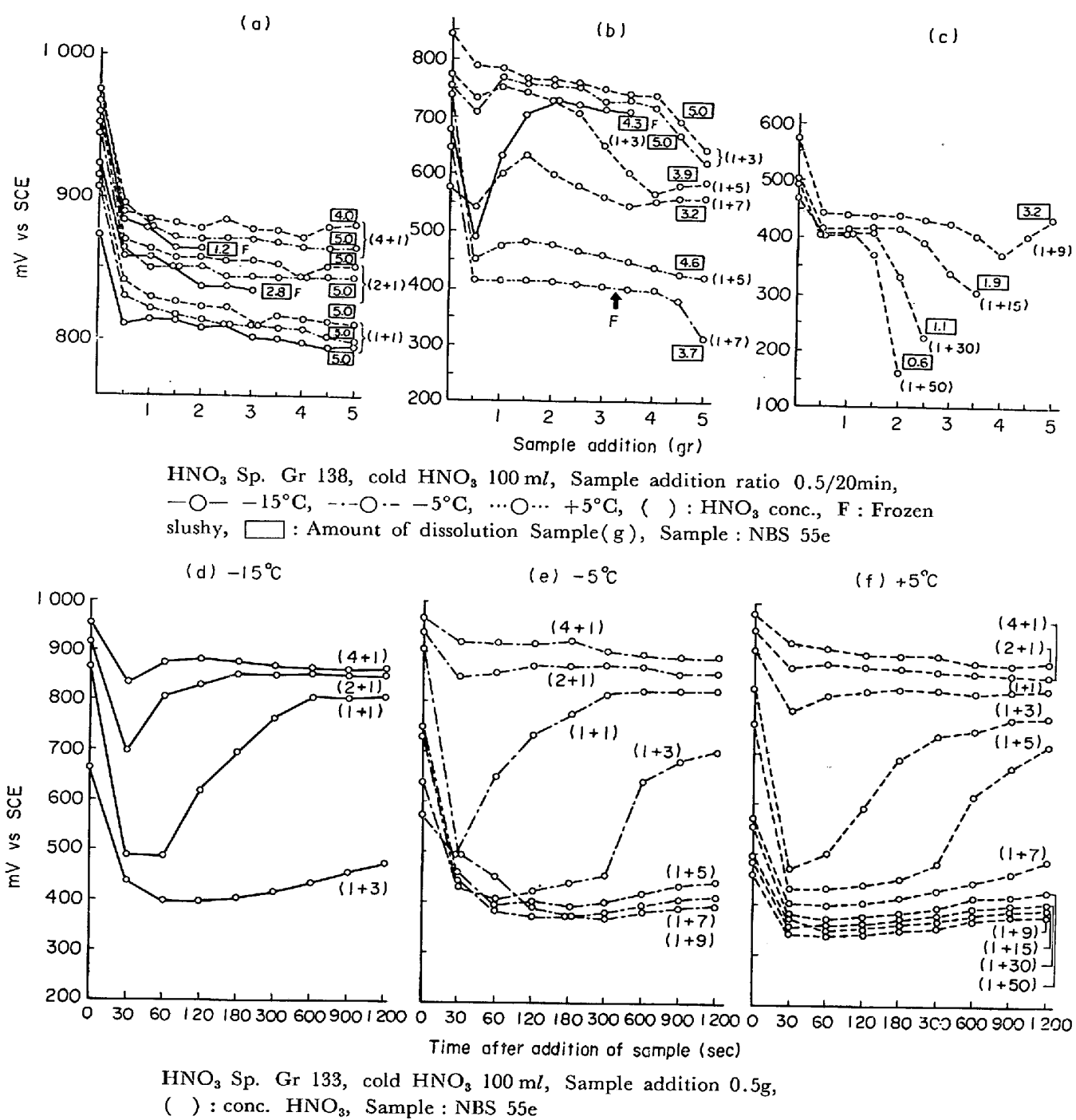


Fig. 1. Natural potential through the reaction of steel and cold HNO<sub>3</sub>.

攪拌溶解し、磁石をピーカーの外壁にあてて磁着していくマトリックスがなくなつたときを溶解おわりとした。つぎに、低温冷却槽に接続して溶解温度とおなじ温度を保持できるようにしてある吸引ろ過器を用いて溶解抽出残渣をろ別する。抽出残渣はメタノールで十分洗浄したのち、白金ルツボにうつし、灰化融解して常法によりそれぞれの元素を分析した。元素の分析結果の表示は insol Si, insol Al, insol Fe および insol Mn とした。

### 3. 実験結果および考察

#### 3.1 冷HNO<sub>3</sub>と試料の反応時における自然電位の変化

冷HNO<sub>3</sub> 100 mL, 試料添加 0.5 g / 20 min, 攪拌浸漬の条件および状態で、それぞれの温度と濃度におけるそれらの自然電位を測定した。Fig. 1 (a)~(f)にその結果を示す。図の(a)~(c)は全体的な電位変化を示し、(d)~(f)は初期の微妙な電位変化を示したもので

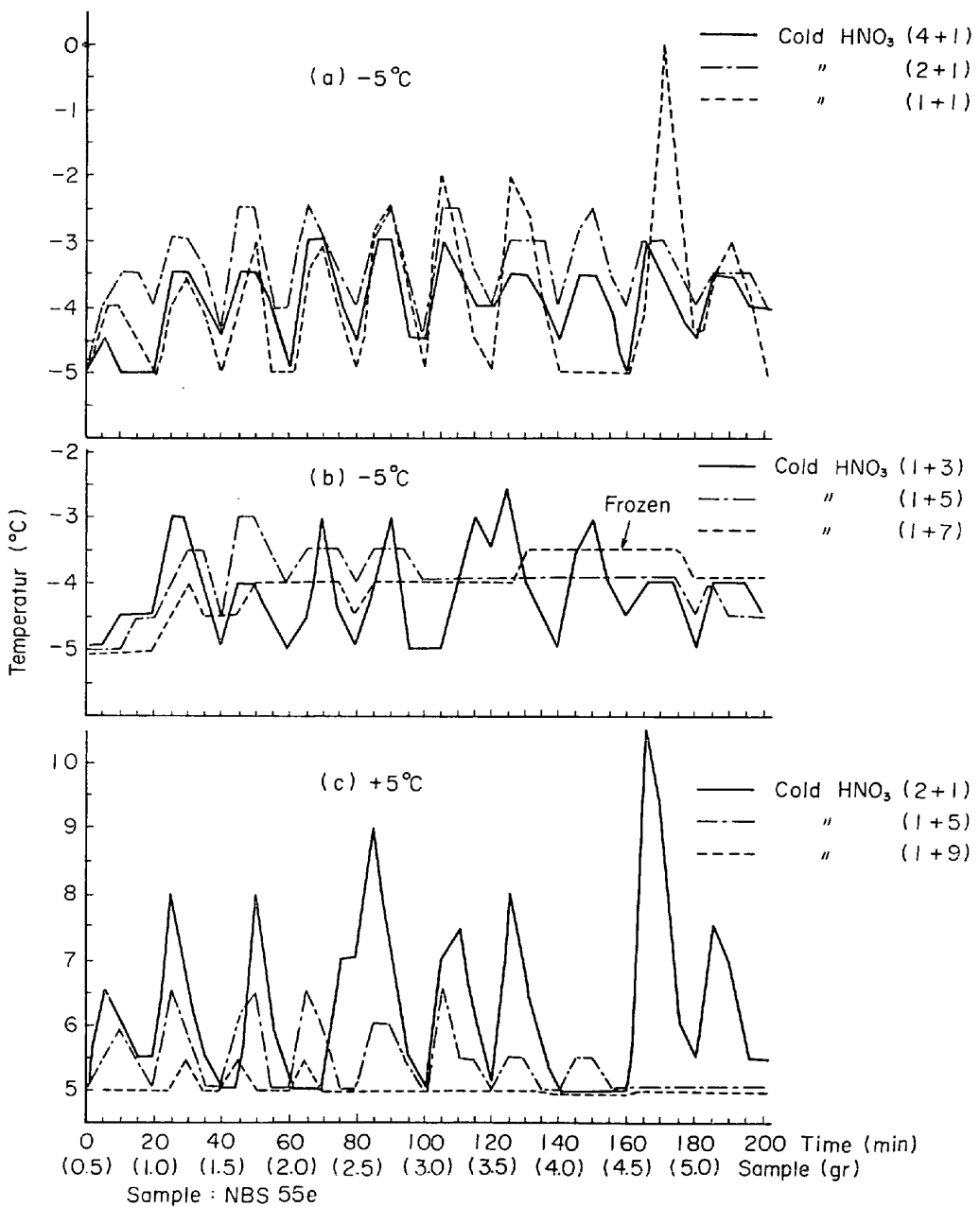


Fig. 2. Temperature of cold  $\text{HNO}_3$  solution through the reaction with steel.

ある。なお、試料は NBS55e 標準試料をもちいた。

冷  $\text{HNO}_3$ - $15^{\circ}\text{C}$  の場合、(4+1) と (2+1) の電位変化はおなじパターンであるが、(1+1) は試料添加後 30~60 sec にかけていちじるしい電位低下を示し、600 sec 後に初期電位に接近している。(1+3) は試料添加後 30 sec でいちじるしい電位低下を示し、そのままの電位を維持している。

冷  $\text{HNO}_3$ - $-5^{\circ}\text{C}$  の場合、(4+1) と (2+1) は  $-15^{\circ}\text{C}$  のときとおなじような電位変化であるが、(1+1) と (1+3) は初期電位に対してもいちじるしい電位低下を示したのち、ふたたび初期電位に接近している。(1+5)~(1+

9) は試料添加後 30 sec で電位低下を示し、そのままの電位を維持している。

冷  $\text{HNO}_3$ + $5^{\circ}\text{C}$  の場合、(4+1)~(1+1) はおなじパターンを示し、(1+3) と (1+5) も試料添加後の電位低下から初期電位に接近する電位変化はてているが、(1+7)~(1+50) は試料添加後 30 sec の電位を維持している。

これまでの冷  $\text{HNO}_3$  と試料の反応時における自然電位の変化を観察した結果はつぎのようにまとめられる。  
(1) 冷  $\text{HNO}_3$  の高濃度側 (4+1)~(1+1) は使用温度と試料添加による電位変化が、中間および低濃度範囲よ

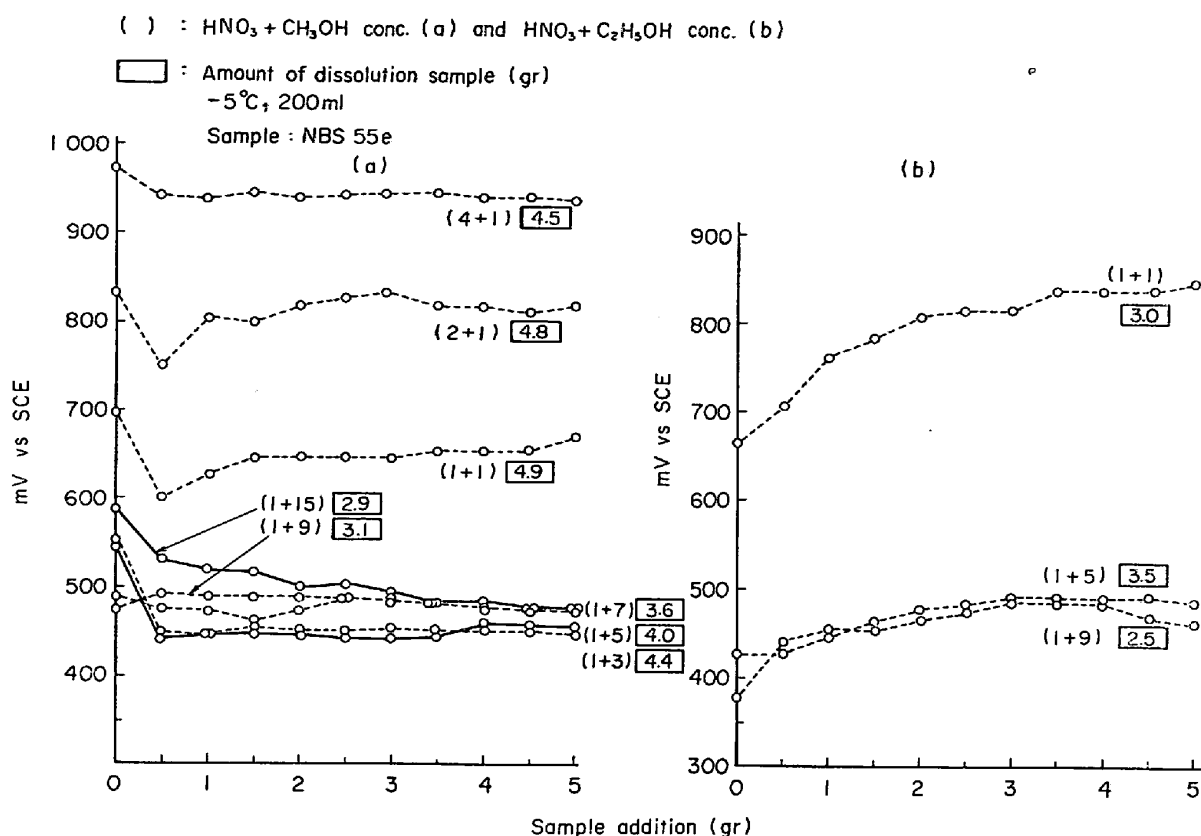


Fig. 3. Natural potential through the reaction of steel and cold  $\text{HNO}_3$  alcoholic solution.

りも比較的少ない。(2)中間濃度(1+3)～(1+7)は使用温度による電位変化がいちじるしいのが特徴である。また $\text{NO}_2$ ガスの発生が目視できないことからもおだやかな反応がうかがわれる。(3)低濃度側(1+9)～(1+50)は使用温度と試料添加による電位変化が少なく、電位も低い。この濃度範囲ではおだやかな反応が予測できる。(4)冷 $\text{HNO}_3$ と試料の反応時における液温の変化はFig. 2(a)～(c)に示すように、高濃度側(4+1)～(1+1)では明らかに液温上昇がみられ、低濃度側ではそれほどでもない。このような傾向は試料との反応の緩急を示唆しており、実際に(1+1)より濃い冷 $\text{HNO}_3$ を使用する場合は試料を少量ずつ添加することがのぞましい。

### 3.2 冷 $\text{HNO}_3\text{-CH}_3\text{OH}$ および冷 $\text{HNO}_3\text{-C}_2\text{H}_5\text{OH}$ 系と試料との反応時における自然電位の変化

水のかわりにアルコールをもちいて冷 $\text{HNO}_3$ を希釈した場合の実験結果をFig. 3(a)(b)に示す。

Fig. 3(a)は $-5^\circ\text{C}$ における冷 $\text{HNO}_3\text{-CH}_3\text{OH}$ の電位変化である。この結果から明らかなように、冷 $\text{HNO}_3$ の高濃度側にあたる(4+1)～(1+1)の範囲では安定した電位を示しているが、同濃度の水溶液の場合と違つては電位が $\text{CH}_3\text{OH}$ 希釈度により600mV vs SCE

から1000mVまで変化することである。また、中間濃度、低濃度側の(1+3)～(1+15)の電位変化にも特徴がみられる。すなわち、(1+3)あるいは(1+5)の電位が最低値となり、これよりも低濃度の場合は高電位を示していることである。このような現象は $\text{HNO}_3\text{-H}_2\text{O}$ 系の場合にはみられない変化であり、 $\text{CH}_3\text{OH}$ 中の $\text{HNO}_3$ の解離挙動の特異さも示していよう。

つぎに、冷 $\text{HNO}_3\text{-C}_2\text{H}_5\text{OH}$ 溶液の場合をFig. 3(b)に示す。さきの冷 $\text{HNO}_3$ の高濃度、中間濃度、低濃度範囲に相当する濃度のもの3種を選び、液温 $-5^\circ\text{C}$ で電位変化を測定した。

図より明らかなように、 $\text{HNO}_3\text{-C}_2\text{H}_5\text{OH}$ 系の特異な点は試料添加ゼロの電位が試料添加後の電位より低値を示していることで、 $\text{HNO}_3\text{-H}_2\text{O}$ 系や $\text{HNO}_3\text{-CH}_3\text{OH}$ 系では見られない現象である。また、試料の溶解量も他の2つの系の場合より明らかに少ない。これは $\text{C}_2\text{H}_5\text{OH}$ 中の $\text{HNO}_3$ の解離挙動が $\text{HNO}_3\text{-H}_2\text{O}$ 系や $\text{HNO}_3\text{-CH}_3\text{OH}$ 系の場合と違つてゐるためであろう。

### 3.3 冷 $\text{HNO}_3$ に対する試料の反応割合

前述の実験結果で明らかなように、冷 $\text{HNO}_3$ は濃度や液温の変化によつて化学的性質も異なるが、試料との反応割合をつぎに検討した。試料はNBS55e(C 0.01%)

Table 2. Decomposition behavior of Fe<sub>3</sub>C in rimmed steel by cold HNO<sub>3</sub>.

(a)

Sample	HNO <sub>3</sub>		Analytical value (%)	
	Volume (ml)	Conc.	insol Fe	insol Mn
H-1	200	1+3	0.036	0.002
		1+4	0.036	0.002
		1+7	0.016	0.002
	100	1+3	0.058	0.002
		1+4	0.016	0.002
		1+7	0.028	0.002
H-2	200	1+3	0.055	0.000
		1+4	0.031	0.000
		1+7	0.560	0.010
	100	1+3	0.025	0.000
		1+4	0.445	0.008
		1+7	0.295	0.005
H-3	200	1+3	0.076	0.002
		1+4	0.011	0.001
		1+7	0.051	0.002
	100	1+3	0.073	0.003
		1+4	0.019	0.002
		1+7	0.058	0.002
M-4	200	1+3	0.030	0.005
		1+4	0.020	0.005
		1+7	0.036	0.005
	100	1+3	0.047	0.006
		1+4	0.017	0.005
		1+7	0.039	0.005
M-5	200	1+3	0.032	0.002
		1+4	0.016	0.002
		1+7	0.062	0.002
	100	1+3	0.035	0.002
		1+4	0.019	0.002
		1+7	0.033	0.002

Sample taken : 2 g, -5°C  
Decomposition time : 20~30 min

(b)

HNO <sub>3</sub> conc.	Analytical value*: insol Fe (%)	
	H-2	M-5
1+7	0.008	0.025
1+8	0.014	0.014
1+9	0.011	0.025
1+10	0.028	0.029
1+11	0.094	0.046
1+12	0.135	0.082
1+13	0.215	0.091
1+15	0.051	0.110
1+20	0.131	0.080
1+30	0.086	0.078
1+40	0.011	0.062

Sample taken : 1 g, +5°C, 500 ml  
Decomposition time : 20~30 min

\* Average of two repeated

(c)

Sample	HNO <sub>3</sub> volume (ml)	Decomposition time (min)	insol Fe (%)
H-2	100	25~30	0.048
	200	25	0.026
	300	20	0.025
	400	10	0.018
	500	10	0.020
	100	20	0.044
M-5	200	25	0.054
	300	20	0.036
	400	20	0.044
	500	20	0.063
	100	20	0.063
	200	20	0.027

Sample taken : 0.5 g  
cold HNO<sub>3</sub>(1+9), +5°C

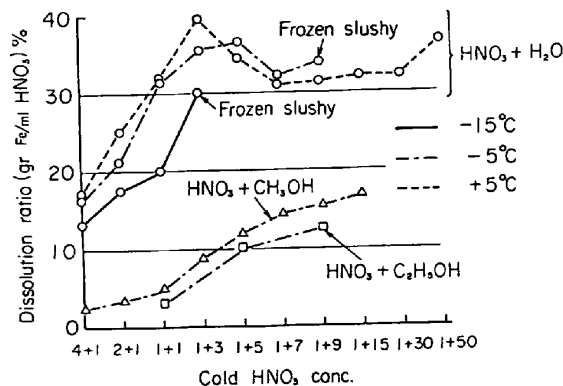


Fig. 4. Dissolution ratio of steel in cold HNO<sub>3</sub> and cold HNO<sub>3</sub>-alcoholic solution.

をもちいた実験結果を Fig. 4 に示す。図中の HNO<sub>3</sub>-CH<sub>3</sub>OH 系と HNO<sub>3</sub>-C<sub>2</sub>H<sub>5</sub>OH 系の場合は 3・2 の結果を基に算出した反応割合である。HNO<sub>3</sub>-H<sub>2</sub>O 系は液量 30 ml として実験した。

試料の溶解割合を明確にするためにモル比 (Fe-HNO<sub>3</sub>) を計算してみると -15°C の場合 (4+1)~(1+3) までの濃度範囲においては 1/5~1/3 の反応割合を示し、-5°C の場合、(2+1) よりも高濃度では 1/5~1/3 の反応割合である。しかし、(1+1) よりも低い濃度では 1/2 の反応割合である。このような試料と冷 HNO<sub>3</sub> の反応割合から、冷 HNO<sub>3</sub> 高濃度、低温の溶解条件よりも低

Table 3. Decomposition behavior of  $\text{Fe}_3\text{C}$  in rimmed steel by cold  $\text{HNO}_3\text{-CH}_3\text{OH}$ .

$\text{HNO}_3$ conc.	Sample	Analytical value : insol Fe(%)	
		+5°C	+10°C
1+1	H-2	0.016 0.015	
	M-5	0.016 0.016	
1+3	H-2	0.022 0.020	
	M-5	0.088 0.102	
1+5	H-2	0.086 0.086	0.011 0.020
	M-5	0.128 0.130	0.061 0.050
1+7	H-2	0.136 0.124	0.020 0.014
	M-5	0.167 0.167	0.096 0.112
1+9	H-2	0.026 0.032	0.032 0.033
	M-5	0.086 0.112	0.073 0.083
1+15	H-2	0.055 0.035	0.012 0.026
	M-5	0.085 0.128	0.071 0.112

Sample taken : 1 g  
cold  $\text{HNO}_3$  ( $\text{HNO}_3 + \text{CH}_3\text{OH}$ ) 500 ml  
Decomposition time : 30~90 min

濃度、高温のほうが分解酸として有効に作用するものと考えられる。

### 3.4 冷 $\text{HNO}_3$ による鋼中 $\text{Fe}_3\text{C}$ の分解挙動

鋼中  $\text{Fe}_3\text{C}$  をほかの介在物と分離できるかどうかは介在物分析の上で重要であり、その分解挙動について調査した。試料は NBS 15f, NBS 16d 標準試料をもち、前者は C が 0.1%, 後者が C 1.0% と C 量に 10 倍の差がある試料を選ぶことにより  $\text{Fe}_3\text{C}$  の冷  $\text{HNO}_3$  に対する分解挙動が明確な指標になるとえた上で試料選択である。冷  $\text{HNO}_3$  の使用条件はつぎのように定めた。試料 1 g につき冷  $\text{HNO}_3$  300 ml, 分解時間は NBS 15f 標準試料では約 60 min, NBS 16d では約 150 min とした。実験結果を Fig. 5 に示す。

A 領域は明らかに  $\text{Fe}_3\text{C}$  が未分解で残留し、B 領域は  $\text{Fe}_3\text{C}$  が分解し、C 領域は C 1.0% の NBS 16d 標準試料の  $\text{Fe}_3\text{C}$  が一部残留した。したがつて、通常の鋼中  $\text{Fe}_3\text{C}$  の分解には B 領域の諸条件の適用が推奨できる。

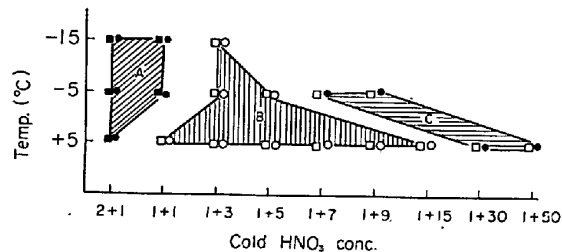
つぎに各種リムド鋼をもついて実用鋼中の  $\text{Fe}_3\text{C}$  が B

Table 4. Decomposition behavior of insol Fe and insol Mn in rimmed steel by various conc. of cold  $\text{HNO}_3$ .

Sample	$\text{HNO}_3$ conc.	Analytical value (%)	
		insol Fe	insol Mn
H-1	2+1	0.159	0.002
	1+2	0.110	0.002
	1+5	0.011	0.002
H-2	2+1	0.042	0.042
	1+2	0.023	0.023
	1+5	0.007	0.007
H-3	2+1	0.928	0.007
	1+2	0.545	0.007
	1+5	0.018	0.001
M-4	2+1	0.146	0.002
	1+2	0.054	0.005
	1+5	0.021	0.006
M-5	2+1	0.165	0.003
	1+2	0.088	0.003
	1+5	0.024	0.002

Sample taken : 2 g, -5°C, 100 ml  
Decomposition time : 15 min

□ Decomposed  $\text{Fe}_3\text{C}$   
■ Undecomposed  $\text{Fe}_3\text{C}$   
○ Decomposed  $\text{Fe}_3\text{C}$   
● Undecomposed  $\text{Fe}_3\text{C}$

Fig. 5. Decomposition range of  $\text{Fe}_3\text{C}$  in steel by cold  $\text{HNO}_3$ .

領域においてどのような分解挙動を示すのか、抽出分離残渣の化学分析によって検討した Table 2(c)がその結果である。

Table 2(a)~(c) の結果から明らかな点は C と Fe の化合割合から推定した Fe 量に対し insol Fe の値は、高くて 10% 程度にすぎず、大部分は分解していることを示しているが、C 量の低い H-1, M-4 および M-5 試料のほうが、C 量の高い H-2 と H-3 試料よりも insol Fe 残留割合が高くなっているのは興味あることである。また、おなじ B 領域であつても冷  $\text{HNO}_3$  濃度、使用量や溶解温度などの変化とともに insol Fe の値も変化する。このような insol Fe 分析値の差異は鋼中  $\text{Fe}_3\text{C}$

の析出状態に起因すると考えられる。したがつて、鋼中  $\text{Fe}_3\text{C}$  の冷  $\text{HNO}_3$  に対する分解挙動は Fig. 5 に示した傾向をもつが、より正確に  $\text{Fe}_3\text{C}$  の分解挙動をみるためにには実際試料中の  $\text{Fe}_3\text{C}$  の析出状態を考慮した上で B 領域の諸条件を適用すべきであろう。

また、Table 2(a)にある insol Mn 分析値は H-2 試料の分析結果を除き安定した値を示している。 $\text{Fe}_3\text{C}$  に固溶している Mn であれば insol Fe の値と対応すべきであるのに、その対応はみられず、また  $\text{MnO}$  や  $\text{MnS}$  の形であれば分解することは既報<sup>1)</sup>に明らかにしてあるので、ここに示した insol Mn の値は  $\text{Mn-Si-O}$  といった複合化合物の Mn ではないかと思われる。

つぎに、冷  $\text{HNO}_3\text{-CH}_3\text{OH}$  溶液による  $\text{Fe}_3\text{C}$  の分解挙動の実験をおこなった。実験結果を Table 3 に示す。

冷  $\text{HNO}_3\text{-CH}_3\text{OH}$  系(1+1), +5°C の insol Fe 分析値が最低値であるがよく一致した値を示しており、(1+7) の場合の insol Fe が最高値を示している。また、+10°C では(1+5)に最低値があり、最高値は試料 H-2 と M-5 では違つてある。このように冷  $\text{HNO}_3\text{-CH}_3\text{OH}$  溶液は冷  $\text{HNO}_3\text{-H}_2\text{O}$  系とは異なつた  $\text{Fe}_3\text{C}$  の分解挙動を示すことがわかる。

### 3.5 冷 $\text{HNO}_3$ 法による鋼中 $\text{Fe}_3\text{C}$ の分析

前項では  $\text{Fe}_3\text{C}$  の分解条件をたしかめたが、 $\text{Fe}_3\text{C}$  を完全捕集して分析する必要が生じる場合も考慮して Fig. 5 の A 領域を適用し、 $\text{Fe}_3\text{C}$  も含めた insol Fe, insol Mn を分析し、その再現性を確認することにした。実験条件は A 領域の諸条件を設定した。実験結果を Table 4 に示す。

Table 4 は、冷  $\text{HNO}_3$ (2+1) の場合、(2+1) 以外の条件における分析値よりも高い insol Fe の値を示している。

また、溶解温度については C 量が高い試料ほど温度の影響をうけるが、C 量の低い試料はあまり影響されなかつた。

さらに、溶解時間の影響についての実験結果を Table 5 に示す。

この結果から明らかなように、試料 H-2, H-3 の C 量の高いもののみ insol Fe, insol Mn 分析値に時間の影響がみられ、C 量の低い試料では時間の影響が少ない。このような C 含有量によって insol Fe, insol Mn の値にみられる影響が異なる原因として鋼中における  $\text{Fe}_3\text{C}$  の析出状態の相違が考えられる。

これまでの結果から、Fig. 5 の A 領域における鋼中 insol Fe, insol Mn の分析法として推奨できる条件は試料 1 g の場合、冷  $\text{HNO}_3$ (2+1)~(1+2), 液温 -5°C

Table 5. Effect of dissolution on insol Fe and insol Mn.

Analytical element	Sample	Dissolution time (min)		
		0	60	120
insol Fe (%)	H-1	0.149	0.174	0.157
	H-2	1.205	0.253	0.176
	H-3	0.791	0.141	0.084
	M-4	0.167	0.151	0.169
	M-5	0.162	0.159	—
insol Mn (%)	H-1	0.002	0.003	0.003
	H-2	0.031	0.032	0.020
	H-3	0.007	0.007	0.003
	M-4	0.005	0.004	0.004
	M-5	0.003	0.003	—

Sample taken : 2 g  
cold  $\text{HNO}_3$  (2+1), 0°C, 100 ml

以下、使用量 30~90 ml である。また、さらに精密な分析を要するならば、上記の適用条件について実際試料をもちい、分析目的に適合する条件を選定することができる。

### 3.6 冷 $\text{HNO}_3$ 法による鋼中介在物の分析

冷  $\text{HNO}_3$  法についてのこれまでの結果を基礎に、キルド鋼およびリムド鋼中の介在物を分析した。この分析では  $\text{Fe}_3\text{C}$  の残留による insol Fe, insol Mn 分析値への正誤差をおさえるために Fig. 5 の B 領域の諸条件を適用した。

はじめに、キルド鋼試料 N-A をもちい、冷  $\text{HNO}_3$  の濃度、温度、使用量および試料はかりとり量をいろいろ組み合わせ、insol Si, insol Al, insol Fe および insol Mn の再現性ある分析値を示す条件がどこにあるかを検討した。結果を Table 6 に示す。

個々の成分では再現性のある分析値も多いが、4 成分とも平均に再現性のある分析値をえた条件としては、冷  $\text{HNO}_3$ (1+4) および(1+7) の -5°C の場合である。

この冷  $\text{HNO}_3$ (1+4), (1+7) -5°C の条件により、ほかのキルド鋼についてさらに検討をかさねた。その結果を Table 7 に示す。

この結果で明らかな点は、この 2 つの条件のうち(1+4) の場合より(1+7) -5°C, 200 ml(試料 1 g) の条件のほうが再現性のよい結果を示している。したがつてキルド鋼中の介在物分析法としては、(1+7) のほうの条件が推奨できるであろう。なお、参考までに  $\text{I}_2\text{-CH}_3\text{OH}$  法による介在物分析結果を Table 8 に示し、冷  $\text{HNO}_3$  法による介在物分析値との比較もおこなうこととした。

Table 7 のそれぞれの成分分析値で注目するものに insol Si と insol Al がある。insol Si の場合、冷  $\text{HNO}_3$

Table 6. Analytical results of nonmetallic inclusion by cold HNO<sub>3</sub> methods in the decomposition time range B.

Conc.	Temp. (°C)	Volume (ml)	Sample taken (g)	Analytical value (%)			
				insol Si	insol Al	insol Fe	insol Mn
1+2	+5	200	1	0.0021	0.0050	0.0100	0.0242
			2	0.0006	0.0013	0.0950	0.0048
			3	0.0004	0.0017	0.1060	0.0051
	+5	100	1	0.0007	0.0085	0.5100	0.0258
			2	0.0004	0.0015	0.1260	0.0062
			3	0.0002	0.0017	0.1267	0.0082
	+5	50	1	0.0007	0.0025	0.2140	0.0142
			2	0.0004	0.0028	0.1740	0.0129
			3	0.0005	0.0030	0.1333	0.0101
1+4	+5	200	1	0.0023	0.0035	0.0210	0.0056
			2	0.0007	0.0035	0.0167	0.0056
			3	0.0004	0.0015	0.0272	0.0024
	+5	100	1	0.0007	0.0010	0.1660	0.0102
			2	0.0004	0.0035	0.0059	0.0062
			3	0.0004	0.0032	0.0043	0.0092
	+5	50	1	0.0007	0.0045	0.0050	0.0074
			2	0.0005	0.0010	0.2750	0.0286
			5	0.0030	0.0040	0.0100	0.0040
1+7	+5	500	2	0.0015	0.0030	0.0050	0.0028
			3	0.0013	0.0030	0.0043	0.0022
			5	0.0007	0.0035	0.0031	0.0020
	+5	300	1	0.0061	0.0035	0.0157	0.0036
			2	0.0020	0.0035	0.0050	0.0033
			3	0.0014	0.0033	0.0043	0.0032
	+5	200	5	0.0007	0.0032	0.0031	0.0023
			1	0.0030	0.0030	0.0050	0.0046
			2	0.0008	0.0035	0.0050	0.0057
1+10	+5	100	3	0.0007	0.0037	0.0183	0.0064
			5	0.0005	0.0030	0.0025	0.0014
			1	0.0021	0.0035	0.0038	0.0078
	+5	500	2	0.0011	0.0030	0.0039	0.0071
			3	0.0007	0.0035	0.0030	0.0081
			5	0.0014	0.0025	0.0078	0.0036
	+5	300	2	0.0007	0.0030	0.0059	0.0043
			3	0.0001	0.0028	0.0023	0.0038
			5	0.0005	0.0030	0.0078	0.0044
1+4	-5	200	2	0.0009	0.0025	0.0078	0.0044
			2	0.0004	0.0030	0.0065	0.0014
			3	0.0004	0.0030	0.0033	0.0031
			5	0.0005	0.0033	0.0031	0.0021
1+4	-5	100	2	0.0012	0.0038	0.0760	0.0071
		50	2	0.0010	0.0038	0.0059	0.0051
		200	2	0.0010	0.0035	0.0079	0.0065
1+7	-5	300	2	0.0014	0.0035	0.0064	0.0045
		200	2	0.0019	0.0035	0.0064	0.0057
		100	2	0.0010	0.0035	0.0064	0.0079

Sample N-A

Table 7. Analytical results of nonmetallic inclusion by cold HNO<sub>3</sub> methods.

Sample	HNO <sub>3</sub>		Sample taken (g)	Analytical value (%)			
	Conc.	Volume (ml)		insol Si	insol Al	insol Fe	insol Mn
H-A	1+7	200	2	0.0014	0.0030	0.0161	0.0005
				0.0011	0.0028	0.0121	0.0005
				0.0014	0.0028	0.0099	0.0005
N-B	1+4	50	1	0.0016	0.0085	0.0112	0.0019
				0.0025	0.0085	0.0124	0.0012
				0.0014	0.0090	0.0112	0.0012
	1+7	200	1	0.0033	0.0095	0.0072	0.0006
				0.0030	0.0085	0.0084	0.0009
				0.0030	0.0090	0.0072	0.0006
N-C	1+4	50	1	0.0033	0.0085	0.0100	0.0006
				0.0030	0.0095	0.0084	0.0012
				0.0023	0.0065	0.0164	0.0037
	1+7	200	1	0.0016	0.0060	0.0140	0.0046
				0.0014	0.0055	0.0112	0.0036
				0.0035	0.0075	0.0072	0.0031
	1+7	200	1	0.0037	0.0060	0.0084	0.0029
				0.0037	0.0065	0.0072	0.0037
				0.0037	0.0050	0.0072	0.0037
				(0.0028)	(0.0055)	(0.0072)	(0.0037)

( ) Frozen

Table 8. Analytical results of nonmetallic inclusion by I<sub>2</sub>-CH<sub>3</sub>OH method in steels.

Sample	Analytical value (%)			
	insol Si	insol Al	insol Fe	insol Mn
H-A	0.0019	0.0033	0.0025	0.0006
	0.0017	0.0033	0.0016	0.0011
N-A	0.0026	0.0040	0.0064	0.0023
	0.0028	0.0038	0.0050	0.0031
N-B	0.0019	0.0095	0.0025	0.0008
	0.0018	0.0100	0.0016	0.0000
N-C	0.0025	0.0070	0.0037	0.0009
	0.0024	0.0065	0.0011	0.0000
H-2	0.0018	0.0003	0.0053	0.0109
	0.0021	0.0004	0.0057	0.0117
	0.0021	0.0002	0.0035	0.0121
M-4	0.0004	0.0010	0.0144	0.0473
	0.0004	0.0010	0.0119	0.0431
	0.0001	0.0009	0.0129	0.0490

Sample taken : 2 g (60°C)

の温度と使用量を変えると分析値に 0.001% 以上の差がみられることと、Table 8 の I<sub>2</sub>-CH<sub>3</sub>OH 法による insol Si の値ともおなじような差が認められる。insol Al の場合、試料 N-B と N-C はともに AlN を含む試料で、Table 7 の値は AlN の Al を含めた insol Al と考えられる<sup>1)2)</sup>。とすればこの insol Al の値と AlN を分解した insol Al の値の差から AlN の分析が可能である。

Table 9. Analytical results of nonmetallic inclusion by cold HNO<sub>3</sub> method.

Sample	Exp. No.	Analytical value (%)			
		insol Si	insol Al	insol Fe	insol Mn
H-2	1*	0.0009	0.0015	0.168	0.0031
		0.0023	0.0010	0.120	0.0025
		0.0019	0.0015	0.148	0.0031
		0.0016	0.0015	0.130	0.0025
		0.0023	0.0020	0.120	0.0041
H-2	2**	0.0021	0.0010	0.044	0.0015
		0.0019	0.0010	0.034	0.0014
		0.0026	0.0010	0.038	0.0014
		0.0026	0.0005	0.039	0.0014
		0.0033	0.0015	0.043	0.0014
M-4	3	0.0009	0.0055	0.0238	0.0046
		0.0007	0.0045	0.0180	0.0040
		0.0012	0.0045	0.0152	0.0040
		0.0012	0.0050	0.0130	0.0037
		0.0023	0.0045	0.0168	0.0040

\* Mildly stirred. \*\* Violently stirred.

Sample taken : 1 g, cold HNO<sub>3</sub> (1+7), -5°C, 200 ml  
Dissolution time : 60 min

う。また、insol Fe と insol Mn については、それぞれ冷 HNO<sub>3</sub> の適用条件にしたがつて分析値に差がみられる。しかし、その中の 1 つの条件についてみれば再現性がよい。このようにそれぞれの条件において再現性のある分析値がえられることは、本法の各成分の状態分析への適用にひとつの可能性をみることができる。

キルド鋼中の介在物分析の最適条件 [冷  $\text{HNO}_3(1+7)$ ,  $-5^\circ\text{C}$  200 ml, 試料 1 g] をもちいてリムド鋼試料 H-2, M-4 の介在物を分析し, Table 9 の結果を得た。

リムド鋼中の介在物の主成分は insol Fe と insol Mn であるから, Table 9 の値と Table 8 の値を比較した場合, insol Fe については大きな差はないが insol Mn については極端な差がみられる。このように insol Mn の場合,  $\text{I}_2\text{-CH}_3\text{OH}$  法による分析値より低値になることは既報<sup>1)</sup>からも予測されたことである。したがって, insol Mn を主成分とするリムド鋼中の insol Mn の分析に本法を適用することは困難である。しかし,  $\text{MnO}$  または  $\text{MnS}$  といった形ではなく,  $\text{Mn-Si-O}$  といった形の insol Mn の分析であれば本法適用は可能であろう。

さらに, 冷  $\text{HNO}_3$  法の適用鋼種の範囲を確認するために, 上記の最適条件による合金鋼の溶解実験をおこない, つぎのような合金鋼は溶解が非常に困難であった。

(1) NBS 133a 標準試料 : Cr-Mo 鋼 (Cr 12.89% Mo 0.29%)

(2) NBC 50C 標準試料 : W-Cr-V 鋼 (W 18.44%, Cr 4.13%, V 1.16%)

(3) NBS 153a 標準試料 : Co-Mo-W 鋼 (Co 8.47%, Mo 8.85%, W 1.76%, Cr 3.72%)

(4) NBS 132a 標準試料 : Mo-W-Cr-V 鋼 (Mo 4.51%, W 6.20%, Cr 4.21%, V 1.94%)

(5) 日本鉄鋼標準試料 : 高速度鋼 A シリーズ (606-1 SKH 2, 607-1 SKH 3, 608-1 SKH 4A, 609-1 SKH 55, 610-1 SKH 57, 611-1 SKH 9) およびステンレス鋼シリーズ A (650-1 SUS 24, 651-1 SUS 27, 652-1 SUS 32, 653-1 SUS 41, 654 SUS 42, 655-1 SUS 43)

このように, 全体的な傾向として合金元素 (Co, Ni, Co, Mo, W, V など) の総量がマトリックス中に 10% 以上含まれると冷  $\text{HNO}_3$  に対し難溶か不溶 (不動態化状態) になることをたしかめた。

これまでの実験結果をまとめると(1)キルド鋼中の介在物分析法としては冷  $\text{HNO}_3(1+7)$ ,  $-5^\circ\text{C}$ , 200 ml (試料 1 g) の条件が適当である。(2) insol Si は冷  $\text{HNO}_3$  の使用条件の変化にともない分析値も変化する。(3) insol Al には AlN の Al も含まれる<sup>1,2)</sup>。したがって AlN を分解する条件を併用すれば insol Al の分析値から AlN の分析も可能である。(4) insol Fe は Fig. 5 の A 領域の諸条件と B 領域の諸条件を抽出目的にしたがって選択し, 組み合わせれば insol Fe の状態分析ができそうである。(5) insol Mn についても insol Fe とおなじ見方ができる。(6)合金元素の総量が 10%

以上の合金鋼は冷  $\text{HNO}_3$  に難溶あるいは不溶(不動態)である。(7)冷  $\text{HNO}_3$  法は, 従来の介在物分析法との比較で適否を考えず, むしろ, 本法と従来法のそれぞれの特徴を有効に組み合わせてもちいることが重要であろう。

#### 4. 結 言

本実験によりつぎのことを明らかにした。

(1) 冷  $\text{HNO}_3$  と試料の反応時における自然電位を測定し, 冷  $\text{HNO}_3$  の濃度と使用温度の密接な関係を確認した。

(2) 冷  $\text{HNO}_3$  と試料の反応時における溶解液温の変化は冷  $\text{HNO}_3$  濃度に比例する。

(3) 冷  $\text{HNO}_3$  の特徴的な濃度範囲は 3 つのグループに分けられる。すなわち, 高濃度側 (4+1)~(1+1), 中間濃度 (1+3)~(1+7) および低濃度側 (1+9)~(1+50) である。

(4) 冷  $\text{HNO}_3$  に対する試料の反応割合はモル比で示すと

高濃度側の  $\text{Fe}/\text{HNO}_3$  は 1/5~1/3

中間, 低濃度側の  $\text{Fe}/\text{HNO}_3$  は 1/2

である。また,  $\text{HNO}_3\text{-CH}_3\text{OH}$  および  $\text{HNO}_3\text{-C}_2\text{H}_5\text{OH}$  系の場合は  $\text{Fe}/\text{HNO}_3$  が 1/5 よりも大きい。

(5) 冷  $\text{HNO}_3$  に対する  $\text{Fe}_3\text{C}$  の分解挙動は, 冷  $\text{HNO}_3$  中間濃度範囲においていちじるしい。

(6) 冷  $\text{HNO}_3$  法による鋼中非金属介在物分析にはつぎの条件が適当である。

冷  $\text{HNO}_3(1+7)$ ,  $-5^\circ\text{C}$ , 200 ml (試料 1 g)

(7) 冷  $\text{HNO}_3$  法による鋼中 AlN の分析が可能である。

(8) 冷  $\text{HNO}_3$  法にはつぎの 3 つの系がある。(a)  $\text{HNO}_3\text{-H}_2\text{O}$  系(b)  $\text{HNO}_3\text{-CH}_3\text{OH}$  系および(c)  $\text{HNO}_3\text{-C}_2\text{H}_5\text{OH}$  系である。そして(b)と(c)を含めて冷  $\text{HNO}_3$  アルコール法とした。

(9) 冷  $\text{HNO}_3$  アルコール法の適用範囲も  $\text{HNO}_3\text{-H}_2\text{O}$  に準ずるものと考えられる。

(10) 合金元素の総量が 10% 以上の合金鋼は冷  $\text{HNO}_3$  に対し難溶もしくは不溶 (不動態) である。

(11) 冷  $\text{HNO}_3$  法および冷  $\text{HNO}_3$  アルコール法は介在物はもちろん析出物の抽出分離法として適用可能であり、従来の介在物分析法との組み合わせで鋼の状態分析にも適当と考えられる。

#### 文 献

1) 川村, 渡辺, 山田, : 鉄と鋼, 58 (1972), p. 2060

2) 川村, 大坪, 後藤: 鉄と鋼, 60 (1974), p. 695